

The effect of *Satureja sahendica* Bornm essential oil on the expression of metalloproteases1, 2, 9 and 13 in bovine fibroblast - like synoviocytes

Hossein Maghsoudi ^{1*} , Enayatollah Yazdanpanah ² , Ali Moheb ² 

¹ Dept of Biotechnology, Payame Noor university, Tehran, Iran

² Dept of Biology, Payame Noor university, Tehran, Iran

Article Info

Article type:
Research article

Article History:

Received: 04 December 2021
Revised: 11 March 2023
Accepted: 19 June 2023
Published Online: 16 December 2023

*** Correspondence to:**
HosseinMaghsoudi
Dept of Biotechnology
Payame Noor university
Tehran Iran
Email:
hossein_m2002@yahoo.com

A B S T R A C T

Introduction: Osteoarthritis is a progressive, age-related disease characterized by cartilage destruction, subchondral bone formation, and inflammation of the synovial membrane. Given the side effects of conventional OA treatments, including non-steroidal anti-inflammatory drugs and corticosteroids, it is important to consider new treatment options for this disorder. Recently, the role of matrix metalloproteinase in the pathogenesis of osteoarthritis has attracted attention.

Objective: The aim of this study was to investigate the effect of *Satureja sahendica* Bornm essential oil on the expression of matrix metalloproteinases 1, 2, 9 and 13 in a model resembling osteoarthritis.

Material & Methods: Bovine fibroblast-like synoviocytes were isolated from the articular cartilage of the radiocarpal joint of an 8-month-old Holstein bovine. Using RT-PCR and ELISA . the expression of Matrix metalloproteinase 1, 2, 9, and 12 was measured. The effect of *Satureja sahendica* Bornm essential oil on migration and cell invasion was investigated in transwell.

Results: The results showed that *Satureja sahendica* Bornm essential oil significantly reduced the expression of matrix metalloproteinase 9 and 12 in bovine fibroblast-like synoviocytes stimulated by lipopolysaccharide. It also suppresses the migration and invasion of these cells. However, the essential oil of *Satureja sahendica* Bornm had no significant effect on the expression of matrix metalloproteinase 1 and 2.

Discussion & Conclusion: Our results show that the essential oil of *Satureja sahendica* Bornm can significantly reduce the activity and inflammatory effect of matrix metalloproteinase 9 and 12. Its potential role as an adjunct to current treatments for osteoarthritis was confirmed. However, cellular modeling does not confirm its beneficial effect in patients with osteoarthritis.

Keywords: Fibroblast-like synovocytes, Matrix metalloproteinase, Migration and cell invasion, Osteoarthritis, *Satureja sahendica* Bornm

➤ How to cite this paper

Maghsoudi H, Yazdanpanah E, Moheb A. The effect of *Satureja sahendica* Bornm essential oil on the expression of metalloproteases1, 2, 9 and 13 in bovine fibroblast - like synoviocytes. Journal of Ilam University of Medical Sciences. 2023;31(5): 94-108.



© The Author(s)

Publisher: Ilam University of Medical Sciences

تأثیر عطرمایه مرزه سهندی بر بیان متالوپروتئیناز ۱، ۲، ۹ و ۱۳ در سینوویوسیت‌های

شبه‌فیبروبلاست گاوی

حسین مقصودی^{۱*} ، عنایت الله یزدان‌پناه^۲ ، علی محب^۲

^۱ گروه بیوتکنولوژی، دانشگاه پام نور، تهران، ایران

^۲ گروه زیست‌شناسی، دانشگاه پام نور، تهران، ایران

اطلاعات مقاله

نوع مقاله: پژوهشی

تاریخ دریافت: ۱۴۰۰/۰۹/۱۳

تاریخ ویرایش: ۱۴۰۱/۱۲/۲۰

تاریخ پذیرش: ۱۴۰۲/۰۳/۲۹

تاریخ انتشار: ۱۴۰۲/۰۹/۲۵

مقدمه: استتوآرتریت یک بیماری پیش‌رونده و وابسته به سن است که با تخریب غضروف، بازسازی استخوان تحت غضروفی و التهاب غشای سینوویال مشخص می‌شود. با توجه به عوارض درمان‌های معمول استتوآرتریت (Osteoarthritis)، از جمله داروهای ضدالتهابی غیراستروئیدی و کورتیکواستروئیدها، بررسی درمان‌های جدید برای این اختلال بسیار مهم است. به تازگی، نقش متالوپروتئیناز‌های ماتریکسی در پاتوژن استتوآرتریت توجه را به خود جلب کرده است. این مطالعه با هدف بررسی اثر عطرمایه مرزه سهندی در مهار بیان ژن متالوپروتئیناز ۱، ۲، ۹ و ۱۳ در سینوویوسیت‌های شبه‌فیبروبلاست گاوی (bovine fibroblast-like synoviocytes) مدلی از استتوآرتریت انجام شد.

مواد و روش‌ها: سلول‌های سینوویوسیت‌های شبه‌فیبروبلاست گاوی (BFLS) از غشای مفصلی غضروف مفصل رادیوکارپال یک گاوهولشتاین ۸ ماهه جدا گردید. سلول‌ها پس از تعیین میزان سمیت توسط روش MTT Assay، در مععرض تحریک لیپوپلی ساکارید بدون یا در حضور دگراماتازون، ایبوپروفن و عطرمایه مرزه سهندی قرار گرفتند. بیان ژن متالوپروتئیناز ۱، ۲، ۹ و ۱۲ و با استفاده از روش RT-PCR و روش ELISA اندازه‌گیری شد. اثر عطرمایه مرزه سهندی بر مهاجرت و تهاجم سلولی توسط Transwell chambers بررسی گردید.

یافته‌های پژوهش: عطرمایه مرزه سهندی میزان ماتریکس متالوپروتئیناز ۹ و ۱۳ را در سلول‌های سینوویوسیت‌های شبه‌فیبروبلاست گاوی تحریک شده با لیپوپلی ساکارید به میزان فراوانی کاهش می‌دهد؛ همچنین مهاجرت و تهاجم به سلول‌های یادشده را سرکوب می‌کند. با این حال، عطرمایه مرزه سهندی تأثیر چشمگیری بر بیان متالوپروتئیناز ۱ و ۲ نداشت.

بحث و نتیجه‌گیری: عطرمایه مرزه سهندی می‌تواند به طور چشمگیری فعالیت و اثر التهابی متالوپروتئیناز ۹ و ۱۲ در استتوآرتریت کاهش دهد. در این مطالعه نقش بالقوه آن به عنوان عامل مکمل درمان‌های رایج در بیماری استتوآرتریت تأیید شد. با وجود این، مدل‌سازی سلولی تأثیر مفید آن را در بیماران مبتلا به استتوآرتریت تأیید نمی‌کند.

نویسنده مسئول:

حسین مقصودی

گروه بیوتکنولوژی، دانشگاه پام

نور، تهران، ایران

Email:
hossein_m2002@yahoo.co
m

واژه‌های کلیدی: استتوآرتریت، متالوپروتئیناز، سینوویوسیت‌های شبه‌فیبروبلاست گاوی، عطرمایه مرزه سهندی،

مهاجرت و تهاجم سلولی

استناد: مقصودی، حسین؛ یزدان‌پناه، عنایت الله؛ محب، علی. تأثیر عطرمایه مرزه سهندی بر بیان متالوپروتئیناز ۱، ۲، ۹ و ۱۳ در سینوویوسیت‌های

شبه‌فیبروبلاست گاوی. مجله دانشگاه علوم پزشکی ایلام، آذر (۳۱:۱۴۰۲): ۹۴-۱۰۸.



مقدمه

متالوپروتئینازها است و تعدیل کننده مشترک ماتریکس خارج سلولی است که در شکل گیری بیماری، ترمیم زخم، ترمیم بافت و بازسازی نقش دارد (۱). دخالت سایر متالوپروتئینازها در استئوآرتربیت کمتر مشخص است؛ به عنوان مثال، متالوپروتئیناز-۲ می‌تواند چندین کلاژن را بشکند و گزارش شده است که سایر متالوپروتئینازهای تولید شده توسط کندروسیت‌ها استئوآرتربیت را در شرایط آزمایشگاهی فعال می‌کند (۲). با این حال، هنوز مشخص نیست که آیا این آنزیم‌ها در فرایند استئوآرتربیت واقعی دخیل هستند یا خیر. تنظیم مهار کننده‌های طبیعی متالوپروتئینازها و مهار کننده‌های بافتی، Tissue inhibitors of metalloproteinase متابولوپروتئینازها مسئول تغییر در آسیب غضروف ناشی از متالوپروتئینازها در طول استئوآرتربیت هستند. مهار کننده‌های بافتی متالوپروتئینازها ۱ و ۲ می‌توانند طیف وسیعی از متالوپروتئینازها از جمله متالوپروتئیناز-۳ را مهار کنند (۳). گروهی از محققان ثابت کردند که سطح بیان متالوپروتئیناز-۳ سرم و واسطه‌های التهابی در آرتربوز باشد یعنی ارتباط مثبت دارد؛ بنابراین، متالوپروتئیناز-۳ می‌تواند به طور بالقوه برای تشخیص آرتربوز با نشانگرهای زیستی غیرتهاجمی استفاده شود (۴). یانگ و همکاران مشخص کردند که Nicotinamide phosphorybosil transferase کاتابولیک خود را با کاهش بیان آگریکان و تنظیم بیش از حد متالوپروتئیناز-۳ و متالوپروتئیناز-۱۳ انجام می‌دهد که یک ویژگی کلیدی پاتوژن استئوآرتربیت و هدف مستقیم عامل hypoxia-inducible factor subunit 2 کمبود اکسیژن (HIF2α) در کندروسیت‌های مفصلی و غضروف آرتربوز است (۵). با وجود بروز بالای آرتربوز، در حال حاضر هیچ درمان مؤثری برای درمان یا متوقف کردن پیشرفت این اختلال وجود ندارد. درمان‌های جراحی مانند استئوتومی و تعویض مفصل گرینه‌های مناسبی هستند. استروئیدها و داروهای ضدالتهابی غیراستروئیدی اصلی‌ترین داروهای مسکن به شمار می‌روند. با این حال، به علت اثربخشی محدود و عوارض جانبی آن‌ها، از جمله عوارض شدید قلبی عروقی و گوارشی، نمی‌توان آن‌ها را در درازمدت مصرف کرد؛

استئوآرتربیت بیماری مزمن دژنراتیو مفصلی با فراوانی بسیار در افراد مسن و علت اصلی ناتوانی جسمی است که منجر به افزایش هزینه و اختلال کیفیت زندگی می‌شود و معمولاً با تخریب مفصل، تغییرات در استخوان زیر غضروف، تشکیل استئوفیت و سینوویت با درجات مختلف مشخص می‌گردد. آرتربوز چهارمین علت اصلی ناتوانی تخمین زده می‌شود (۶). بیشتر این ناتوانی ناشی از درگیری مفصل زانو و لگن است. عوامل مستعد کننده سیستمیک بیماری به طور خلاصه عبارت‌اند از: عوامل سطح فردی مرتبط با استئوآرتربیت شامل افزایش سن، جنس زن، اضافه وزن، چاقی و نژاد (قومیت) که ممکن است نشان‌دهنده تأثیرات رثیکی یا اجتماعی فرهنگی باشند (۷). در میان سلول‌های التهابی که ممکن است در پاتوژن استئوآرتربیت مشارکت داشته باشند، سلول‌های سینوویویت شبه‌فیروبلاست در شروع و هدایت بیماری و در هماهنگی با سلول‌های التهابی بسیار مهم هستند و با ترشح متالوپروتئینازها در مایع سینوویال و حمله مستقیم به ماتریکس خارج سلولی، باعث تخریب غضروف و استخوان می‌شوند و آسیب مفصلی را تشدید می‌کنند. این سلول‌ها ویژگی‌های تهاجمی ذاتی دارند که در سایر فیروبلاستها مشاهده نمی‌گردد (۸). فرسایش غضروف به دنبال آرتربوز توسط آنزیم‌های تجزیه کننده ماتریکس مانند ADAMTS و متالوپروتئینازهای ماتریکسی ایجاد می‌شوند. ماتریکس متالوپروتئیناز یک پروتئاز وابسته به روی (Zn²⁺) است که نه تنها نقش مهمی در فرایندهای تجزیه خارج سلولی دارد، بلکه دارای ماتریکس خارج سلولی است که در آسیب‌شناسی آرتربوز و تهاجم تومورها نقش دارد (۹). ماکروفاژها با تولید طیف وسیعی از متالوپروتئینازها و واسطه‌هایی که باعث بیان متالوپروتئینازها توسط کندروسیت‌ها می‌شوند، مانند ایترلوکین-۱، فاکتور نکروزدهنده تومور آلفا و چندین متالوپروتئیناز، در استئوآرتربیت دخیل هستند. بر اساس داده‌های بالینی و تجربی، شواهد قوی وجود دارد که متالوپروتئیناز نقش مهمی در آسیب غضروفی استئوآرتربیت ایفا می‌کند (۱۰). متالوپروتئیناز-۳ عضوی از خانواده

تأثیر عطرمایه مرزه سهندی

متالوپروتئیناز

سنهندي و انجام گاز کروماتوگرافی توسط مرکز ملي ذخایر ژنتيكي و زيستي ايران صورت گرفت.

كشت سلول هاي فيروblast شب سينوسيت گاوی: جداسازی سلول هاي فيروblast شب سينوسيت گاوی از مایع مفصلي، مفصل كف دستي بندانگشتي گو ساله هشت ماهه سالم انجام شد. پس از کشیدن مایع مفصلي به فلاسک حاوي محيط كشت DMEM-F12 غني شده با ۱۰ درصد سرم جنين گاوی، اسيد اسكوريك ۵۰ $\mu\text{g}/\text{mL}$ و ترکيب آنتيبيوتيكها شامل پني سيلين $100\text{ }\mu\text{g/mL}$ ، استريپтомايسين $100\text{ }\mu\text{g/mL}$ در جنتامايسين $50\text{ }\mu\text{g/mL}$ و آمفوتريسين-ب $25\text{ }\mu\text{g/mL}$ در داخل فلاسک هاي 25 cm^2 در انکوباتور با شرایط 5% CO_2 در ما ۳۷ درجه سانتي گراد و رطويت ۹۵ درصد نگهداري گردید. پس از رسيدن تراكم سلول ها به بيشتر از ۸۰ درصد، اقدام به شمارش سلول ها توسط محلول تريپان بلو $1/40$ درصد شد و درصد زنده مانی سلول ها تعين و سلول هاي با ۹۵ درصد زنده مانی برای کشت بعدی انتخاب گردید.).

تقسيم بندی گروه هاي پژوهش و تيمار سلول ها: گروه هاي پژوهش به هشت گروه تقسيم شدند که جدول شماره ۱ نحوه گروه بندی آنها را نشان مي دهد. کشت سلول هاي فيروblast شب سينوسيت گاوی به تعداد $10\text{ }\times 10\text{ cm}^2$ در فلاسک هاي 275 mL به مدت ۱-۲ ساعت در انکوباتور و سپس تزرير عطرمایه مرزه سنهندي به ميزان $16\text{ }\mu\text{g/mL}$ صورت گرفت و همه فلاسک ها به مدت ۵ دقيقه روی شيكر با حرکت چرخشی انکوباتور نگهداري شدند. به منظور فراهم کردن شرایط شيه به بيماري استئوارتريت و افزایش بيان سايتوكين هاي پيش التهابي از ليوبلي ساكاريد به ميزان 100 ng/mL استفاده گردید (۱۴). دگرامتا زون سولفات سدیم به ميزان 4 mg/mL (۱۴)، ايوپروفن (ضدالتهاب غيراستروئيد) به ميزان 10 mg/mL (۱۴)، ليوبلي ساكاريد به عنوان كترول مثبت و مقایسه اثر آنها با عطرمایه و دی متیل سولفو كسايد به عنوان كترول منفي در گروه هاي پژوهش استفاده شد. در مطالعات پيشين، اين گروه

بنابراین، نیاز به اینمي و کارا بیشتری در درمان آرتروز وجود دارد (۱۴). مرزه سنهندي با نام علمي Satureja sahendica Bornm يکی از گیاهان بومی ایران است. فعالیت های ضد باكتريائي، ضد قارچي، ضد ویروسی، آنتي اكسيدانسي، ضد دیابتی، گشاد کننده عروق و ضد درد به عنوان کاربردی ترين خواص زير گونه Satureja گزارش شده است. جنبه های درمانی اين گونه ها را بيشتر می توان به روغن های فرار، فلاونوئيدها و تriterپنويدها اختصاص داد (۱۴). در اين مطالعه آثار عطرمایه مرزه سنهندي بر ييان متالوپروتئيناز ۱، ۲، ۹ و ۱۲ و مهاجرت و تهاجم سلولی بررسی شد.

مواد و روش ها

همه مراحل اين مطالعه در آزميشگاه بيو تكنولوجى دانشگاه پيام نور واحد شهرى در سال ۱۴۰۰ انجام شده است.

مواد شيمائي استفاده شده: محيط های کشت سلول DMEM-F12 (D8437)، RPMI-1640 (R8758)، ال گلو تامين (C 59202)، سرم جنين گاوی (F 7524)، يكربنات سدیم (S 5761)، گلوکوز-۴-(۲-هیدروكسيل) پپيرازين-۱-اتانوسولفونيك اسيد (H 0887)، كيت MTT Assay (CT 01)، معرف گريس (G 4410)، ليوبلي ساكاريد (L) (Escherichia coli serotype O127:B8)، 4516 پپروات سدیم (P 5280)، تريپان بلو (T 6146)، Trypsin-EDTA 0.25% (T 4049)، ۹۴۲۴ فل-كلروفرم اي زوميل الكل (P 3803) و بتا مركاپتو اتانول (M 6250) از كمپاني سيگما (انگلستان)، كيت اندازه گيري متالوپروتئيناز ۱۳ (G-BOFI00148.96) و كيت اندازه گيري متالوپروتئيناز ۹ (G-BOFI00118.96) از كمپاني بیومل (انگلستان) و جنتامايسين، پني سيلين و استريپتو مايسين (۰۶۳-۱۵۰۷۰) از شركت ايده زيس نوترکيب (ایران) و كيت استخراج RNA، RNA cDNA و كيت تبديل RNA به RT-PCR kit Vivantis-۲ و مستر ميکس-PCR و پرایمرها از كمپاني سیناثن (ایران) خريداري گردید و آمفوتريسين-ب از كمپاني سپيلا (هندستان) تهيه شد.

تهيه عطرمایه مرزه سنهندي: تهيه عطرمایه مرزه

از سلول‌های سینوویوسیت توسط آنتی‌بادی ویمتین تأیید شده

بودند.

جدول شماره ۱. گروههای پژوهش

سلول (6x10 ⁶)	لیپوپلی ساکارید	عطرمایه مرزه سهندی	دگراماتازون	ایبوپروفن	دی‌متیل سولفوكساید	گروههای پژوهش	شماره گروه
+ve	-ve	-ve	-ve	-ve	-ve	کنترل منفی (سلول)	۱
+ve	-ve	+e	-ve	-ve	-ve	گروه شاهد (سلول+عطرمایه مرزه سهندی)	۲
+ve	+ve	-ve	-ve	-ve	-ve	کنترل مثبت (سلول+لیپوپلی ساکارید)	۳
+e	+e	+e	-ve	-ve	-ve	گروه تیمار (سلول+لیپوپلی ساکارید+عطرمایه مرزه سهندی)	۴
=e	+ve	-ve	+e	-ve		گروه تیمار (سلول+لیپوپلی ساکارید+دگراماتازون)	۵
+e	+ve	-ve	-ve	+e	-ve	گروه تیمار (سلول+لیپوپلی ساکارید+ایبوپروفن)	۶
+e	+w	-ve	-ve	-ve	+e	گروه شاهد (سلول+لیپوپلی ساکارید+دی‌متیل سولفوكساید)	۷
+e	-ve	-ve	-ve	-ve	+ve	گروه شاهد (سلول+دی‌متیل سولفوكساید)	۸

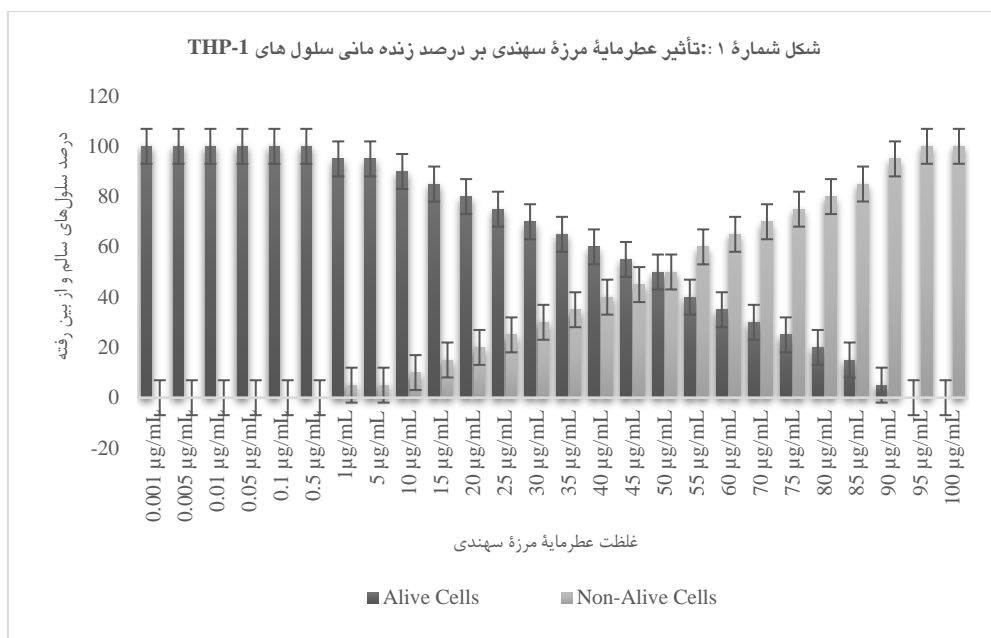
۱, ۵x10-۱, ۵, ۱۰, ۱۵, ۲۰, ۲۵, ۳۰, ۳۵, ۴۰, ۴۵, ۵۰, ۵۵, ۶۰, ۶۵, ۷۰, ۷۵, ۸۰, ۸۵, ۹۵ and ۱۰۰ µg/mL افزوده گردید. پلیت‌ها به مدت ۱-۲ ساعت در انکوباتور کشت سلولی قرار گرفتند؛ سپس لیپوپلی ساکارید به میزان ۱۰۰ ng/mL به هر کدام از چاهک‌ها اضافه شد و دوباره در انکوباتور کشت سلولی به مدت ۲۴ ساعت قرار گرفتند. در مرحله بعد، به هر کدام از چاهک ۲۰ میکرولیتر از محلول افزوده گردید و مجدداً به مدت ۴ ساعت در انکوباتور کشت سلولی ۳۷ درجه سانتی گراد قرار داده شدند. در پایان این مدت، همه محیط کشت سلولی از چاهک‌ها خارج و ۱۰۰ میکرولیتر ایزوپوتیل الکل به هر کدام از چاهک‌ها افزوده گردید تا کریستال فومارازان حل شود. میزان جذب محلول هر کدام از چاهک‌ها در طول موج ۵۷۰ نانومتر با استفاده از دستگاه اسپکتروفتومتر قرائت گردید. با افزایش میزان عطرمایه مرزه سهندی، به تدریج درصد زنده‌مانی کاهش پیدا می‌کند،

بررسی سیتو توکسیسیتی به روش MTT Assay برای

بررسی سیتو توکسیسیتی عطرمایه مرزه سهندی و تعیین LC50 از روش رنگ‌سنگی استفاده گردید. پودر MTT یک نمک ترازولیوم محلول در آب است که این محلول در محیط کشت فاقد فنل رد یا بافر PBS حل می‌شود و ترکیب زردرنگ ایجاد می‌کند. اساس این تست شکستن بلور فومارازان توسط آنزیم سوکسینات دهیدروژناز میتوکندریابی زنده است. نتیجه این حالت ایجاد بلورهای نامحلول فومارازان ارغوانی رنگ است که توسط دی‌متیل سولفوكساید به حالت محلول در می‌آید. هرچه سلول‌ها فعال‌تر و تعداد بیشتر باشد، میزان رنگ ایجاد شده بیشتر است. بر اساس دستورالعمل (۱)، سلول‌های فیبروبلاست شبه‌سینوویوسیت به تعداد ۱۰۵ در پلیت ۲۴ چاهکی کشت داده شدند و به مدت ۱-۲ ساعت در انکوباتور نگهداری و سپس عطرمایه مرزه سهندی با غلظت‌های (۰, ۱, ۰, ۱x10-۱, ۱x10-۲, ۵x10-۲, ۱x10-۳, ۵x10-۱, ۱x10-۲, ۵x10-۲, ۱x10-۳) در

شماره ۱).

به صورتی که در غلظت $45 \mu\text{g/mL}$ این درصد در سلول های سینوویوسیت به میزان ۵۰ درصد کاهش می یابد. برای تیمار سلول ها از میانگین $16 \mu\text{g/mL}$ استفاده گردید (شکل



شکل شماره ۱. تعیین درصد زنده‌ماندنی سلولی به روشن Trypan Blue برای BFLSc.

میلی‌متر میلی‌متر و قطر منفذ ۸ میلی‌متر اندازه گیری شد (Costar NY14831, USA). تعداد 105×1 سلول سلول فیبروبلاست شبه سینوویوسیتساینوویوسیت، بعد پس از تیمار با عطرمایه‌اسانس مرزا سهندی به مدت ۲۴ ساعت، در قسمت بالایی فیلتر دولایه پلیت Transwell Chamber کشت داده شد؛ سپس محیط کشت بدون سرم همراه یا بدون میزان 100 ng/mL گرم‌منانو گرم بر میلی‌لیتر، میلی‌لیتر به قسمت پایین پلیت اضافه شد گردید و به مدت ۲۴ ساعت در انکوباتور گلاظت گاز دی‌اکسید دی‌اکسید کربن 5% درصد 5°C و نگهداری شد تا سلول‌ها به طبقه بالا توسط سواپ استریل سلول‌های مهاجرت نکرده در طبقه آوری شده و با کریستال ویوله جمع آوری گردید جمع آوری شده و با رنگ آمیزی شدند. سلول‌های سلول‌های مهاجرت نکرده در پنج قسمت مختلف از پلیت مربوطه توسط میکروسکوپ با بزرگ‌نماییزیرگ نمایی 100 شمارش شدند گردیدند. برای تعیین سنجه میزان تهاجم طبق پروتکل دستورالعمل، ابتدا منفذ در قسمت بالایی فیلتر دولایه توسط ماتریشل پوشش داده

سلول‌های BFLSc به میزان تعداد ۱۰۵ به پلیت ۲۴ چاهکی منتقل و به مدت ۱-۲ ساعت در انکوباتور نگهداری شدند و سپس عطرمایه مرزا با غلظت‌های $x10-3, 1, 5x10-1, 1x10-2, 5x10-2, 1x10-1, 5x10-1, 5, 10, 15, 20, 25, 30, 35, 40, 45, 50, 55, 60, 65, 70, 75, 80, 85, 95$ and $100 \mu\text{g/mL}$ سلول‌ها به مدت ۲۴، ۴۸ و ۷۲ ساعت در انکوباتور کشت سلولی قرار گرفتند و سپس شمارش سلول‌ها با استفاده از لام شمارش Newbar در هر کدام از چاهک‌های مدنظر با سه نوبت تکرار انجام پذیرفت. همان‌طور که ملاحظه می‌شود، با افزایش میزان عطرمایه مرزا سهندی، به تدریج درصد زنده‌مانی کاهش پیدا می‌کند، به صورتی که در غلظت‌های $45 \mu\text{g/mL}$ این درصد در سلول‌های THP-1 به میزان ۵۰ درصد کاهش می‌یابد. داده‌ها به عنوان میانگین 1 ± 0.01 و سه نوبت آزمایش تکراری مستقل ارائه شده است ($P < 0.01$ **).

سنجه مهاجرت و تهاجم سلولی در شرایط آزمایشگاهی: مهاجرت سلولی در شرایط آزمایشگاهی به وسیله بوسیله اتفاقک‌های کشت تراسول با ضخامت $6/5$

استفاده شد و در صورت وجود آلودگی DNA، از آنزیم DNase برای از بین بردن DNA اضافی استفاده موردن استفاده قرار می‌شود مگر د.

سترن cDNA (کاتالوگ نامبر در قسمت مواد شیمیایی

تایپ شده است): برای هر نمونه، ۱ µg RNA از توسط steps RT-PCR ۲ در شرایط: دمای ۴۲ درجه ۵ سانتی گراد مدت ۶۰ دقیقه و دمای ۹۴ درجه ۶ سانتی گراد به مدت ۵ دقیقه تبدیل به cDNA تبدیل می شود. با استفاده از پرایمرهای اختصاصی (جدول شماره ۷)، برای هر کدامهر کدام از سایتوکین های سایتوکاین های مطالعه شده مورد مطالعه، Semiquantitative PCR انجام گردید. شد و ژن گلیسرآلدئید-۳-فسفات (Glyceraldehyde 3-phosphate dehydrogenase) به عنوان بیانگر استفاده شد. در آغاز آغاز کاروز ژل ۱/۵ درصد کنترل PCR برآورده است.

شد و محیط کشت به قسمت پایینی اتاقک اضافه شد گردید؛
سپس تعداد 5×10^4 سلول را به محیط کشت مخلوط شده با
FBS درصد انتقال داده و به Transwell که قبل از
ماتریژل زده شده زرد شده بود، اضافه شدند گردید و به مدت
۲۴ ساعت به سلول هاسلول ها اجازه تهاجم و مهاجرت داده
شد؛ سپس سلول های بالایی توسط سو اپ برداشته برداشته
شد و سلول های پایینی شمارش شدند.

و اکشن زنجیره‌ای زنجیره ای پلیمراز در زمان واقعی
جداسازی جدا سازی RNA (کاتالوگ نامبر در قسمت مواد
شیمیایی تایپ شده است): برای لیز کردن سلول‌های سلول‌ها از
معروف Trizol استفاده گردید و استخراج RNA با فل-
کلروفرم ایزومیل الكل انجام پذیرفت. پس از تحریک شدید
و انکوباسیون ۳ دقیقه ایدئیقه ای در دمای اتاق، نمونه‌های نمونه
ها سانتریفیوژ شدند و یک فاز آبی حاوی RNA
جمع آوری جمع آوری گردید. RNA با ایزوپروپیل الكل
تهنشیته نشین شد و مجدداً در آب بدون RNase حل گردید.
درنهایت، برای تعیین غلظت RNA از روش اسیکتر و فتو متري

جدول شماره ۲. توالی نوکلئوتیدی پر اینما

NCBI Reference Sequence		Forward Primer5'-3'	Reverse Primer5'-3'	PCR Product Length(bp)
NM_174112.1	B.MMP-1	GGTGGAAACCTTGCTCATGC	CTGCCACCCGGTACAAGTTA	118
NM_174745.2	B.MMP-2	CCGCTACGGTTTCTCGGAT	AGTGGGAATCTCCCCAACAT	154
BC142430.1	B.MMP-9	GACCAAGTGCTATCCTCACCA	TCCTGGAAAGACCACAAACGG	119
NM_174389.2	B.MMP-13	AGACAGATTCTCTGGCGGC	TAGGCAGCATCAATAACGGTT	102
NM_001034034.2	B.GAPDH	AAGGTGGAGTGAACGGATTC	ATTGATGGCGACGATGTCCA	90

نمونه آخرين قطره بافر از هر چاهك، $100\text{ }\mu\text{L}$ از محلول HRP-Streptavidin به هر چاهك افروده گردید و پليت به مدت ۴۵ دقيقه در درجه حرارت آزمایشگاه روی شيكر با حرکات دوراني با سرعت ملائم قرار داده شد. دوباره محلول روبي هر چاهك دور ريخته و سپس توسط محلول شستشوده‌ند، در سه نوبت چاهك‌ها شستشو گردید. پليت بر عکس گذاشته شد تا آخرین قطرات محلول شستشوده‌ند خارج گردد. مجدداً $100\text{ }\mu\text{L}$ محلول رنگي ELISA Colorimetric TMB به هر چاهك اضافه شد؛ سپس توسط نايلون سياه کاور گردید و پليت به مدت ۳۰ دقيقه در درجه حرارت آزمایشگاه، بر شيكر با حرکات دوراني با سرعت ملائم قرار داده شد. $50\text{ }\mu\text{L}$ از Stop Solution به هر چاهك افزوده و چگالي نوري توسط Microplate Reader در OD 450 nm اندازه گيری شد.

آناليز آماري: همه داده‌ها به عنوان ميانگين با انحراف معيار \pm بيان شده است. آناليز آماري با استفاده از ANOVA، REST-2000، Student-Newman-Keuls برای آناليز از Cts استفاده گردید و $P < 0.001$ و $P < 0.05$ به شكل آماري معني دار در نظر گرفته شده است.

یافته‌های پژوهش

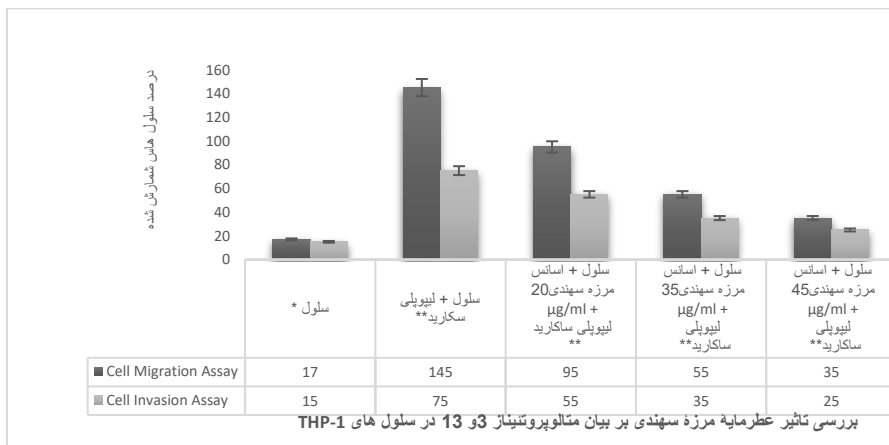
اثر مهار کنندگی عطرمایه مرزا سهندی بر توانایی مهاجرت و تهاجم سلول‌های سینوویوسیت: بهمنظور بررسی اثر مهار کنندگی عطرمایه مرزا سهندی بر توانایی مهاجرت و تهاجم سلول‌های سینوویوسیت که با لیپوپلی ساکارید تحریک شده بودند، از ترانسول چیمبر استفاده گردید. همان‌طور که در شکل شماره ۱ مشاهده می‌شود، توانایی مهاجرت سلولی در محیط آزمایشگاهی سلول‌های سینوویوسیت تا $\frac{3}{5}$ برابر زمانی که با لیپوپلی ساکارید تحریک شده بودند، افزایش یافت. به طور مشابهی، اطلاعات به دست آمده از سنجش تهاجم سلولی نشان می‌دهد که تحریک با لیپوپلی ساکارید باعث افزایش قدرت تهاجم سلول‌های سینوویوسیت تا $\frac{7}{10}$ برابر در مقایسه با گروه کنترل شد. با این حال، سرکوب توانایی مهاجرت و تهاجم سلولی در سلول‌های سینوویوسیت تحریک شده با لیپوپلی ساکارید

سنجهش کمی واکنش زنجیره‌ای پلیمراز در زمان واقعی: PCR در زمان واقعی با استفاده از همان پرایمرهایی که برای PCR کیفی استفاده گردید (جدول شماره ۲)، صورت گرفت و از evergreen به عنوان مستر میکس استفاده شد. نتایج CTs (Threshold Cycle) توسط دو روش منحنی استاندارد و روشن Pfaffl ارزیابی گردیدند. در اصل CTs اعداد شمارشی هستند و معنی دار بودن آن‌ها ابتدا توسط ANOVA تعیین شد و در مرحله دوم توسط نرم‌افزار Student- REST-2000، Newman-Keuls (SNK) و روشن Pfaffl گردید. در پایان، برای تعیین میزان بیان ژن از روش $\Delta\Delta Ct$ در استفاده شد.

الایزرا: کشت سلول‌های سینوویوسیت به تعداد 10^6 در هر فلاسک برای هشت گروه و نگهداری در انکوباتور به مدت ۲-۳ ساعت و سپس تیمار سلول‌ها با $\mu\text{g/mL}$ ۲۲/۱۶ دگزاماتازون، ایپروپرون، عطر مایه مرزه سنه‌نی و DMSO و نگهداری مجدد در انکوباتور به مدت ۷۲ ساعت و سپس افزودن لیپوپلی ساکارید 100 ng/mL برای همه گروه‌ها به غیراز گروه اول و نگهداری مجدد در انکوباتور به مدت ۲۴ ساعت انجام گرفت. در مرحله بعدی، $100 \mu\text{L}$ از محلول‌های استاندارد کیت اندازه گیری متالوپروتئیناز-۹ و ۱۳ و سپس $100 \mu\text{L}$ از مایع رویی محیط کشت به چاهک‌های مربوطه اضافه گردید و نگهداری پلیت‌ها در تاریکی به مدت ۲/۵ ساعت در درجه حرارت آزمایشگاه صورت گرفت. پس از خارج کردن محیط رویی چاهک‌ها، دو نوبت شستشوی همه چاهک‌ها با بافر شستشو انجام شد و پس از خارج کردن آخرین قطره بافر از هر چاهک، $100 \mu\text{L}$ آنتی‌بادی Biotinylated ملایم در درجه حرارت آزمایشگاه قرار داده شد. محلول روی دور ریخته شد؛ سپس توسط $300 \mu\text{L}$ محلول شستشو دهنده، در سه نوبت چاهک‌ها شستشو گردید. پلیت بر عکس گذاشته شد تا آخرین قطرات محلول شستشو دهنده خارج گردد. پس از خارج کردن محیط رویی چاهک‌ها، دو نوبت شستشوی همه چاهک‌ها با بافر شستشو صورت گرفت و بعد از خارج

تهاجم و مهاجرت سلولی در سلول‌های سینوویوپسیت تحریک شده با لیپوپلی ساکارید می‌شود (شکل شماره ۲).

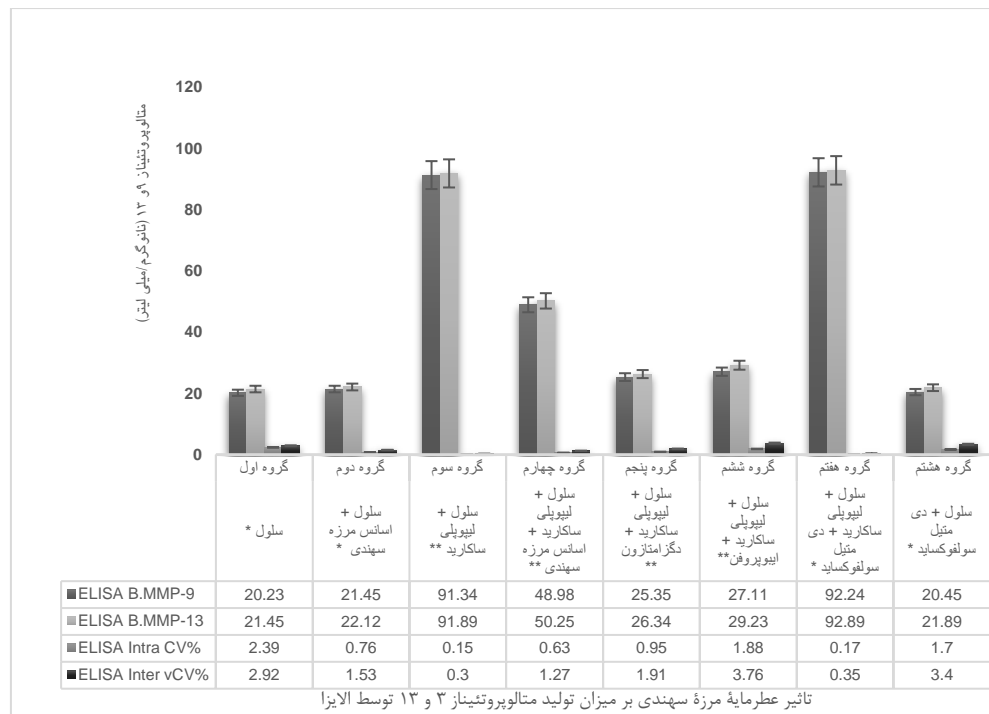
وابسته به دوز است. نتایج حاکی از آن است که غلظت‌های غیرسمی از عطرمایه مرزه سهندی از ۲۰ تا ۱۰۰ میکروگرم بر میلی لیتر در شرایط آزمایشگاهی، قادر به کاهش میزان توانایی



شکل شماره ۲. سلول‌های BFLSc با غلظت‌های مشخصی از عطرمایه مرزه سهندی در محیط کشت حاوی سرم به مدت ۲۴ ساعت انکوبه شدند. توانایی مهاجرت و تهاجم سلولی سلول‌های BFLSc به وسیله سنجش میزان مهاجرت و تهاجم سلولی مشخص گردید. سلول‌های THP-1 با غلظت مشخصی از عطرمایه مرزه سهندی به مدت ۲۴ ساعت تیمار شدند؛ سپس به سلول‌های BFLSc با یا بدون LPS (۱ میلی گرم بر میلی لیتر) به مدت ۲۴ ساعت، اجازه مهاجرت و تهاجم کردند. در سه آزمایش مستقل به صورت میانگین ± 1 خطای استاندارد در نمودار فوق رسم گردید. نتایج توسط آزمون آنوا ارزیابی شد (* $P<0.01$ و ** $P<0.001$).

میزان بیان پروتئین‌های مطالعه شده در سلول‌های تیمارشده با عطرمایه (گروه ۲) تقریباً شیبیه سلول‌های گروه اول بود و دی‌متیل سولفوكساید هیچ تغییری بر کاهش بیان پروتئین‌های مطالعه شده در سلول‌های تحریک شده با لیپوپلی ساکارید (گروه ۷) و سلول‌های بدون تحریک (گروه ۸) را نشان ندادند (شکل شماره ۲. گروه ۴). به‌منظور بیان دقیق تراکارپذیری نتایج تست ایمونواسی، معمولاً دو معیار ضرب تغییرپذیری Intrera CV و Inter CV باید در نظر گرفته شود. ضرب تغییرپذیری Coefficient of Variability است که به عنوان انحراف استاندارد مجموعه‌ای از اندازه‌گیری‌ها تقسیم بر میانگین مجموعه تعریف می‌شود (۱). نتایج $Intrera CV\% < 15$ و $Inter CV\% < 10$ بود؛ درنتیجه، نتایج الایزا قابل قبول هستند (شکل شماره ۳).

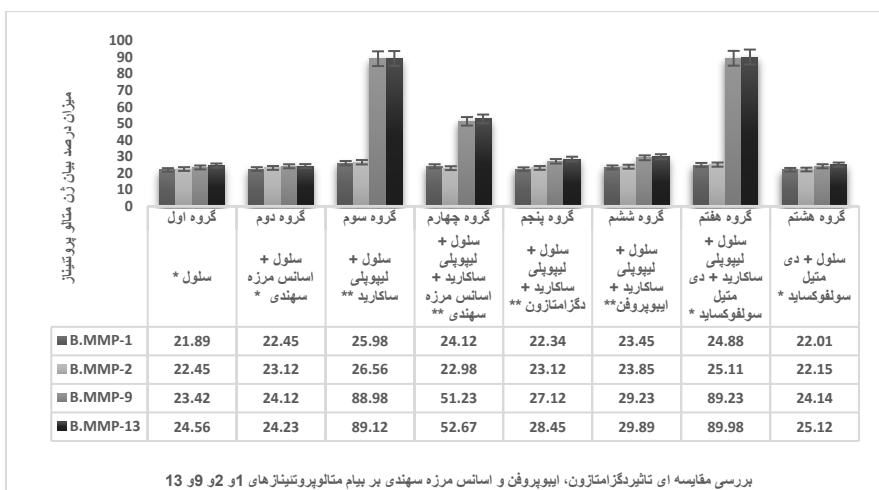
تأثیر عطرمایه مرزه سهندی بر تولید متالوپروتئیناز ۱، ۲، ۹ و ۱۳ در سلول‌های سینوویوپسیت: به‌منظور مقایسه تأثیر عطرمایه مرزه سهندی، دگراماتازون و ایپوپروفن بر تولید متالوپروتئیناز ۳ و ۱۳ در سلول‌های سینوویوپسیت در گروه‌های هشت گانه (جدول شماره ۱) و مقایسه تجزیه و تحلیل کمی نتایج RT-PCR نشان داد که افزودن لیپوپلی ساکارید منجر به افزایش چشمگیر تولید متالوپروتئیناز ۳ و ۱۳ در سلول‌های سینوویوپسیت می‌شود (شکل شماره ۲. گروه ۳). تیمار با دگراماتازون (گروه ۵) و ایپوپروفن (گروه ۶) در سلول‌های تحریک شده توسط لیپوپلی ساکارید به‌طور چشمگیر و معنی‌داری ($P<0.001$) میزان تولید متالوپروتئیناز ۳ و ۱۳ را کاهش (۹۰ درصد) دادند. درباره تیمار با عطرمایه مرزه سهندی (گروه ۴) هم این کاهش سطح بیان (۵۰ درصد) در مورد همه پروتئین‌های مطالعه شده تعیین گردید ($P<0.001$).



شکل شماره ۳. مقایسه تأثیر عطرمایه مرزا سهندی، دگراماتازون و ایپوروفن بر سلول‌های سینوویوسیت تحریک‌شده توسط LPS بر بیان متالوپروتئیناز ۱، ۲، ۹ و ۱۳ با استفاده از Real-PCR Time. کشت سلول‌ها به میزان 10^6 در هر فلاسک برای هشت گروه و نگهداری در انکوباتور به مدت ۲-۳ ساعت انجام شد و سپس تیمار سلول‌ها با دگراماتازون، ایپوروفن و عطرمایه مرزا سهندی و DMSO و نگهداری مجدد در انکوباتور به مدت ۷۲ ساعت و سپس تزریق LPS 100 ng/mL برای همه گروه‌ها به‌غیراز گروه اول صورت گرفت و مجدداً در انکوباتور برای ۲۴ ساعت نگهداری شد. مقدار بیان طبیعی MMP-9، MMP-13 در گروه اول نشان داده شده است. اختلاف معنی دار آماری میان گروه چهارم و سایر گروه‌ها با استفاده از آزمون - Student - Newman - Keuls میانگین تجزیه و تحلیل گردید و در سه آزمایش مستقل به صورت میانگین \pm خطای استاندارد نشان داده شد (* $P<0.01$ و ** $P<0.001$).

لیپولی ساکارید به طور چشمگیر و معنی‌داری ($P<0.001$) سطح بیان متالوپروتئیناز-۳ و متالوپروتئیناز-۱۳ را کاهش (۹۰) درصد دادند. درباره تیمار با عطرمایه مرزا سهندی (گروه ۴) هم این کاهش سطح بیان (۵۰ درصد) در مورد همه پروتئین‌ها مطالعه‌شده تعیین گردید ($P<0.001$). میزان بیان پروتئین‌های مطالعه‌شده در سلول‌های تیمار شده با عطرمایه (گروه ۲) تقریباً شیشه سلول‌های گروه اول بود و دی‌میتل سولفوکساید هیچ تغییری بر کاهش بیان پروتئین‌های مطالعه‌شده در سلول‌های تحریک شده با لیپولی ساکارید (گروه ۷) و سلول‌های بدون تحریک (گروه ۸) را نشان نداد (شکل شماره ۴). گروه ۳).

تأثیر عطرمایه مرزا سهندی بر بیان ژن متالوپروتئیناز ۱، ۲، ۹ و ۱۳ در سلول‌های سینوویوسیت: به منظور مقایسه تأثیر عطرمایه مرزا سهندی، دگراماتازون و ایپوروفن بر بیان متالوپروتئیناز-۹ و متالوپروتئیناز-۱۳ در سلول‌های سینوویوسیت در گروه‌های هشت‌گانه (جدول شماره ۱) و مقایسه تجزیه و تحلیل کمی نتایج RT-PCR نشان داد که افزودن لیپولی ساکارید به افزایش چشمگیر سطح بیان متالوپروتئیناز-۹ و متالوپروتئیناز-۱۳ در سلول‌های سینوویوسیت منجر می‌شود (شکل شماره ۴). گروه ۳). تیمار با دگراماتازون (گروه ۵) و ایپوروفن (گروه ۶) در سلول‌های تحریک شده توسط



بررسی مقایسه ای تاثیر دگرمتاتازون، ایپوپروفن و اسپس مژه سهندی بر بیام متالوپروتئیناز های ۱ و ۲ و ۹ و ۱۳

شکل شماره ۴. مقایسه تأثیر عطرمایه مژه سهندی، دگرمتاتازون و ایپوپروفن بر سلول های سینوویویسیت تحریک شده توسط LPS بر بیان متالوپروتئیناز ۱، ۲، ۹ و ۱۳ با استفاده از PCR Time-Real. کشت سلول ها به میزان ۱۰۶۱۰ در هر فلاسک برای هشت گروه و نگهداری در انکوباتور به مدت ۲-۳ ساعت انجام شد و سپس تیمار سلول ها با دگرمتاتازون، ایپوپروفن و عطرمایه مژه سهندی و DMSO و نگهداری مجدد در انکوباتور به مدت ۷۲ ساعت و سپس تزریق LPS ۱۰۰ ng/mL برای همه گروه ها به غیر از گروه اول صورت گرفت و مجدداً در انکوباتور برای ۲۴ ساعت نگهداری شد. مقدار بیان طبیعی ۱۳ MMP-9، MMP-13 در گروه اول نشان داده شده است. اختلاف معنی دار آماری میان گروه چهارم و سایر گروه ها با استفاده از آزمون - Student Newman-Keuls میانگین تجزیه و تحلیل گردید و در سه آزمایش مستقل به صورت میانگین \pm خطای استاندارد نشان داده شد (* $P<0.01$ و ** $P<0.001$).

فیروز مانند سیروز کبدی، بیماری های فیروتیک ریه، تصلب شرایین و ضعف ماتریکس مانند کاردیومیوپاتی و آنوریسم آئورت (). در شرایط عادی، کندروسیت های مفصلی با حفظ تعادل میان ستتر و تخرب اجزای ماتریکس خارج سلولی توسط کلژن نوع II و آگریکان پروتو گلیکان در غضروف مفصلی، تعادل پویایی را حفظ می کنند (). در آرتروز، اختلال در تعادل ماتریکس به از دست دادن تدریجی بافت غضروف، گسترش کلونال کندروسیت ها در مناطق تخلیه شده، القای حالت های اکسیداتیو در محیط سلولی استرس زا و درنهایت، آپوپتوز سلول ها منجر می گردد (). با پیشرفت بیماری، معمولاً تخرب و ستتر مولکول های ماتریکس خارج سلولی در مفصل افزایش می یابد و با افزایش متابولیسم کندروسیت ها به علت تولید بیش از حد سایتو کین های التهابی و آنزیم های تجزیه کننده ماتریکس، همراه با تنظیم نامناسب سیگنالینگ آنابولیک درنهایت، به تخرب ماتریکس خارج سلولی و متعاقب آن، تخرب غضروف منجر می شود (). لیپوپلی ساکارید فعل کننده دستگاه ایمنی ذاتی مانند ماکروفائزها و نوتروفیل ها است که از طریق اتصال به کمپلکس گیرنده های ناقوسی شکل شماره ۴ (Toll-like receptor 4)، فعالیت خود

بحث و نتیجه گیری

خانواده ماتریکس متالوپروتئینازها شامل بیش از ۲۶ اندوپیتیداز است که توالی پروتئینی همولوگ دارند و با ساختار دومین های حفظ شده و دومین های اختصاصی مربوط به مواد اختصاصی و تشخیص سایر پروتئین ها هستند و این تنوع فراوان آن ها تأثیر بسیار بسیاری بر شرایط پاتوفیزیولوژیکی بیماری ها فراهم می کند (). ماتریکس متالوپروتئینازها به همراه پروتئین های سیستین، پروتئین های آسپارتیک و پروتئین های سرینی آنزیم های پروتولوژیک هستند که در تخرب ماتریکس خارج سلولی و غشاء های پایه دخیلاند. ماتریکس خارج سلولی هم در شرایط فیزیولوژی مانند تکامل جنین و هم در شرایط پاتولوژیک مانند بیماری های التهابی () و پیر شدن پوست ناشی از اشعه ماوراء بنفش دخالت دارند (). تولید بیش از حد متالوپروتئیناز-۱۳ در موارد پاتولوژیکی متعددی گزارش شده است و مهم ترین آن ها عبارت اند از: در موارد تخرب بافت مانند تهاجم سلول های سرطانی و متاستاز، آرتربیت روماتوئید، استئوآرتربیت، زخم بستر، زخم معده، زخم قرنیه، بیماری پریودنتال، آسیب مغزی و در بیماری های التهابی عصبی و

تاثیر عطر مایه مزه سهندی بزن متالوپروتئیناز

۹ در تخریب بافت فیرونکتین و القای تهاجم سلولی در مقایسه با متالوپروتئیناز-۲ باشد؛ همچنین این اثر ممکن است مربوط به اتصال مهار کننده بافتی متالوپروتئیناز Tissue Inhibitor of Metalloprotease ها به دومین شبه‌هموپکسین در متالوپروتئیناز-۲ باشد که مانع فعالیت این متالوپروتئیناز با وجود دومین O-glycosylated در متالوپروتئیناز-۹ می‌شود. ممکن است متالوپروتئیناز-۱۳ مربوط به اتصال مهار کننده بافتی متالوپروتئینازها به دومین شبه‌هموپکسین در متالوپروتئیناز-۲ باشد که مانع فعالیت این متالوپروتئیناز با اتصال به دومین کاتالیزوری یا دومین شبه‌هموپکسین شود. با این حال، مطالعات بیشتری برای روشن شدن این محتوا مورد نیاز است. با توجه به مطالعه‌لی و همکاران، درمان با آنتی‌بادی anti-TLR4 و مهار کننده TLR4 بیان و فعالیت آنزیمی متالوپروتئیناز-۹ ناشی از لیپوپلی ساکارید را کاهش داد. علاوه بر این، مهار TLR4 فعالیت رونویسی فاکتور نکروزدهنده کاپا بی (Nuclear factor kappa B) ناشی از لیپوپلی ساکارید را می‌کاهد. TLR4 مبدل اصلی سیگنال بالادرست NF-κB است که توسط لیگاندهای TLR و سایتوکین‌ها فعال می‌شود. NF-κB با اتصال به مولکول‌های خانواده IκB در سیتوپلاسم ترشح می‌شود و با فسفوریلاسیون IκBα فعال می‌گردد که تجزیه بعدی آن در پروتوزوم، به زیر واحد‌های NF-κB از جمله p65 و p50 اجازه می‌دهد تا وارد هسته شوند و ژن‌های هدف را فعال کنند (۱). متالوپروتئیناز-۱۳ در آرتروز افزایش بیان می‌یابد و تا حدی مسئول تخریب کلائزنا و پروتئوگلیکان‌ها در غضروف و استخوان است که به از بین رفتن عملکرد مفصل منجر می‌گردد و نقش بسیار مهمی در استئوآرتزیت دارد (۲). مهار فعالیت متالوپروتئیناز-۱۳ یک هدف درمانی جذاب برای تحقیقات دارویی علیه استئوآرتزیت است. با این حال، بسیاری از مهار کننده‌های طیف گسترده‌ای از متالوپروتئینازها که تاکنون کشف شده‌اند، عوارض جانبی دردناکی را در پی داشته‌اند. متالوپروتئینازها، غیر از متالوپروتئیناز-۱۳، نقش مهمی در بازسازی و ترمیم بافت طبیعی ایفا می‌کنند و تصور می‌شود که مهار این عملکردها باعث عوارض جانبی

را نشان می‌دهد. در این تحقیق از لیپوپلی ساکارید برای شیوه‌سازی التهاب و افزایش بیان ژن متالوپروتئینازها در کشت سلولی استفاده شد (۳). متالوپروتئیناز-۱۳ در تخریب پروتئین‌های ماتریکس خارج سلولی از جمله کلائز فیریلار، فیرونکتین و آگریکان نقش دارد و کلائزهای مارپیچ سه گانه از جمله کلائز نوع I، نوع II و نوع III را از بین می‌برد؛ اما بیشترین فعالیت را با کلائز محلول نوع II دارد؛ همچنین می‌تواند کلائز نوع IV، نوع XIV و نوع XV را تخریب کند و نیز ممکن است با فعل یا تخریب پروتئین‌های تنظیم کننده Transforming کلیدی مانند فاکتور رشد تغییردهنده بتا (Growth Factor Beta) و فاکتور رشد بافت همبند (Connective Tissue Growth Factor) عمل کند. تصور می‌شود که متالوپروتئیناز-۱۳ در بافت همبند به ویژه غضروف و استخوان در حال توسعه بیان می‌شود. با این حال، متالوپروتئیناز-۱۳ در سلول‌های اپیتلیال و عصبی نیز تشخیص داده شده است. متالوپروتئیناز-۱۳ در بافت‌های غضروفی بیماران مبتلا به آرتروز بیش از حد بیان می‌گردد و افزایش بیان متالوپروتئیناز-۱۳ در کندروسیت‌ها ممکن است Coefficient of Variability (۴)، فرم فعال شده متالوپروتئیناز-۱۳ شامل یک دومین haemopexin-like کاتالیزوری و یک دومین شبه‌هموپکسین domain است. نکته مهم این است که دومین شبه‌هموپکسین بر خواص تخریب متالوپروتئیناز-۱۳ غالب است. اگرچه دومین کاتالیزوری متالوپروتئیناز-۱۳ به خودی خود می‌تواند کلائز را تخریب کند؛ اما در انجام این کار به اندازه حوزه دومین شبه‌هموپکسین کار آمد نیست (۵). نتایج مطالعه حاضر نشان می‌دهد، هیچ تغییر واضحی در بیان متالوپروتئیناز-۲ و متالوپروتئیناز-۳ در غلظت‌های مختلف عطر مایه مزه سهندی در مقایسه با نمونه‌هایی که تنها در معرض لیپوپلی ساکارید قرار گرفته‌اند، دیده نشد و درنتیجه، عطر مایه مزه سهندی هیچ تأثیری بر این ژن‌های هدف ندارد. از سوی دیگر، کاهش بیان ژن متالوپروتئیناز-۹ و متالوپروتئیناز-۱۳ همین‌طور کاهش مهاجرت و تهاجم سلولی نسبت به دگر اماتازون و ایوبیوفن قابل توجه بود که احتمالاً به سبب توانایی بیشتر متالوپروتئیناز-

سفت کننده مفصل می‌گردد (۴).

دو مسیر اصلی که توسط متالوپروتئیناز-۹ فعال می‌شوند، عبارت‌اند از: فاکتور نکروزدهنده کاپا بی و مسیرهای پروتئینی کیناز فعال شده با میتوژن (۵). مشخص شده است که عطرمایه مرزا سهندی می‌تواند بیان ژن متالوپروتئیناز-۱۳ و ۹ را کاهش دهد. نتایج این مطالعه باید با توجه به محدودیت‌های خاصی تفسیر شود. آثار عطرمایه مرزا سهندی بر درمان استئوآرتیت در یک مدل سلولی به طور قابل توجهی اثر مفید آن را در بیماران مبتلا به استئوآرتیت تضمین نمی‌کند؛ بنابراین، مطالعات بیشتر باید از آزمایش‌های بالینی برای تعیین اثر عطرمایه مرزا سهندی در بیماران مبتلا به استئوآرتیت استفاده کنند. از محدودیت‌های مطالعه حاضر این است که نتایج در بی مطالعات کشت سلولی به دست آمده است و برای تأیید نیاز به مطالعه در حیوان آزمایشگاهی مانند موش یا خرگوش دارد؛ همچنین پس از آن، باید تأیید نهایی مطالعه در بیماران مبتلا به آرتروز انجام پذیرد که نیازمند مطالعات بیشتری است.

سپاه گزاری

بدین وسیله از ریاست محترم دانشگاه پیام نور مرکزی، آقای دکتر یزدان و آقای حسین حجازیان، کارشناس آزمایشگاه بیوتکنولوژی مرکزی ری، به علت پیگیری‌های مستمر شان در تجهیز آزمایشگاه بیوتکنولوژی و فراهم کردن محیط آموزشی و تحقیقاتی به دور از استرس همراه با انرژی مثبت، نهایت تشکر و قدردانی را داریم.

تعارض منافع

نویسنده‌گان این مقاله اعلام می‌دارند که در رابطه با انتشار مقاله ارائه شده، به‌طور کامل از اخلاق نشر از جمله سرقت ادبی، سوء رفتار، جعل داده‌ها و یا ارسال و انتشار دوگانه پرهیز کردند و منافع تجاری در این راستا وجود ندارد و نویسنده‌گان در قبال ارائه اثر خود وجهی دریافت ننموده‌اند.

References

- Sharma L. Osteoarthritis of the knee. *N Engl J Med* 2021;384:51-9. doi: 10.1056/NEJMcp1903768.
- Allen KD, Thoma LM, Golightly YM. Epidemiology of osteoarthritis. *Osteoarthritis Cartilage* 2022;30:184-95. doi: 10.1016/j.joca.2021.04.020.
- Lefèvre S, Knedla A, Tennie C, Kampmann A, Wunrau C, Dinser R, et al. Synovial fibroblasts spread rheumatoid arthritis to unaffected joints. *Nat Med* 2009;15:1414-20. doi: 10.1038/nm.2050.
- Xu Q, Gai PY, Lv HL, Li GR, Liu XY. Association of MMP3 genotype with susceptibility to frozen shoulder: a case-control study in a Chinese Han population. *Genet Mol Res* 2016;15:10-4238. doi: 10.4238/gmr.15017228.
- Huang X, You Y, Xi Y, Ni B, Chu X, Zhang R, et al. p-Coumaric acid attenuates IL-1 β -induced inflammatory responses and cellular senescence in rat chondrocytes. *Inflammation* 2020;43:619-28. doi: 10.1007/s10753-019-01142-7.
- Gao JW, Zhang KF, Lu JS, Su T. Serum matrix metalloproteinases-3 levels in patients with ankylosing spondylitis. *Genet Mol Res* 2015;14:17068-78. doi: 10.4238/2015.December.16.7.
- Milaras C, Lepetsos P, Dafou D, Potoupnis M, Tsiridis E. Association of matrix metalloproteinase (MMP) gene polymorphisms with knee osteoarthritis: a review of the literature. *Cureus* 2021;13. doi: 10.7759/cureus.18607.
- Keller LE, Wojno ED, Begum L, Fortier LA. Regulatory T cells provide chondroprotection through increased TIMP1, IL-10 and IL-4, but cannot mitigate the catabolic effects of IL-1 β and IL-6 in a tri-culture model of osteoarthritis. *Osteoarthr Cartil Open* 2021;3:100193. doi: 10.1016/j.ocarto.2021.100193.
- Ma JD, Zhou JJ, Zheng DH, Chen LF, Mo YQ, Wei XN, et al. Serum matrix metalloproteinase-3 as a noninvasive biomarker of histological synovitis for diagnosis of rheumatoid arthritis. *Mediators Inflamm* 2014;2014 :179284. doi: 10.1155/2014/179284.
- Yang S, Ryu JH, Oh H, Jeon J, Kwak JS, Kim JH, et al. NAMPT (visfatin), a direct target of hypoxia-inducible factor-2 α , is an essential catabolic regulator of osteoarthritis. *Ann Rheum Dis* 2015;74:595-602. doi: 10.1136/annrheumdis-2013-204355.
- Grässel S, Muschter D. Recent advances in the treatment of osteoarthritis. *F1000Res* 2020;9. doi: 10.12688/f1000research.22115.1.
- Momtaz S, Abdollahi M. An Update on Pharmacology of Satureja Species; From Antioxidant, Antimicrobial, Antidiabetic and Anti-hyperlipidemic to Reproductive Stimulation. *Int J Pharmacol* 2010; 6:346-353. doi: 10.3923/ijp.2010.346.353.
- Maghsoudi H, Hallajzadeh J, Rezaeipour M. Evaluation of the effect of polyphenol of escin compared with ibuprofen and dexamethasone in synoviocyte model for osteoarthritis: an in vitro study. *Clin Rheumato* 2018;37:2471-8. doi: 10.1007/s10067-018-4097-z.
- Jeong YH, Oh YC, Cho WK, Shin H, Lee KY, Ma JY. Anti-inflammatory effects of *Viola yedoensis* and the application of cell extraction methods for investigating bioactive constituents in macrophages. *BMC Complement Altern Med* 2016;16:1-6. doi: 10.1186/s12906-016-1142-9.
- Padumadasa C, Dharmadana D, Abeysekera A, Thammitiyagodage M. In vitro antioxidant, anti-inflammatory and anticancer activities of ethyl acetate soluble proanthocyanidins of the inflorescence of *Cocos nucifera* L. *BMC Complement Altern Med* 2016;16:1-6. doi:10.1186/s12906-016-1335-2
- Eriksson JE, Dechat T, Grin B, Helfand B, Mendez M, Pallari HM, et al. Introducing intermediate filaments: from discovery to disease. *J Clin Invest* 2009;119:1763-71. doi: 10.1172/JCI38339.
- Garbison KE, Heinz BA, Lajiness ME, Weidner JR, Sittampalam GS, Lajiness ME, et al. Assay Guidance Manual. Eli Lilly & Company and the National Center for Advancing Translational Sciences. 2004.
- Indrayanto G, Putra GS, Suhud F. Validation of in-vitro bioassay methods: Application in herbal drug research. *Profiles Drug Subst Excip Relat Methodol* 2021;46:273-307. doi: 10.1016/bs.podrm.2020.07.005.
- Liao HY, Da CM, Liao B, Zhang HH. Roles of matrix metalloproteinase-7 (MMP-7) in cancer. *Clin Biochem* 2021;92:9-18. doi: 10.1016/j.clinbiochem.2021.03.003.
- Freitas-Rodriguez S, Folgueras AR, Lopez-Otin C. The role of matrix metalloproteinases in aging: Tissue remodeling and beyond. *Biochim Biophys Acta Mol Cell Res* 2017;1864:2015-25. doi: 10.1016/j.bbamcr.2017.05.007.
- McCabe MC, Hill RC, Calderone K, Cui Y, Yan Y, Quan T, et al. Alterations in extracellular matrix composition during aging and photoaging of the skin. *Matrix Biol Plus* 2020;8:100041. doi: 10.1016/j.mbpplus.2020.100041.

22. Mehana ES, Khafaga AF, El-Blehi SS. The role of matrix metalloproteinases in osteoarthritis pathogenesis: An updated review. *Life Sci* 2019;234:116786. doi: 10.1016/j.lfs.2019.116786.
23. Latourte A, Kloppenburg M, Richette P. Emerging pharmaceutical therapies for osteoarthritis. *Nat Rev Rheumatol* 2020;16:673-88. doi: 10.1038/s41584-020-00518-6.
24. Lee AS, Ellman MB, Yan D, Kroin JS, Cole BJ, van Wijnen AJ, et al. A current review of molecular mechanisms regarding osteoarthritis and pain. *Gene* 2013;527(2):440-7. doi: 10.1016/j.gene.2013.05.069.
25. Blasioli DJ, Kaplan DL. The roles of catabolic factors in the development of osteoarthritis. *Tissue Eng Part B Rev* 2014;20:355-63. doi: 10.1089/ten.TEB.2013.0377.
26. Sirikaew N, Chomdej S, Tangyuenyong S, Tangjitjaroen W, Somgird C, Thitaram C, et al. Proinflammatory cytokines and lipopolysaccharides up regulate MMP-3 and MMP-13 production in Asian elephant (*Elephas maximus*) chondrocytes: Attenuation by anti-arthritis agents. *BMC Vet Res* 2019;15:1-3. doi: 10.1186/s12917-019-2170-8.
27. Rose BJ, Kooyman DL. A tale of two joints: the role of matrix metalloproteinases in cartilage biology. *Dis Markers* 2016;2016. doi: 10.1155/2016/4895050.
28. Malemud CJ. Matrix metalloproteinases and synovial joint pathology. *Prog Mol Biol Transl Sci* 2017;148:305-25. doi: 10.1016/bs.pmbts.2017.03.003.
29. Li G, Liu D, Zhang Y, Qian Y, Zhang H, Guo S, et al. Celastrol inhibits lipopolysaccharide-stimulated rheumatoid fibroblast-like synoviocyte invasion through suppression of TLR4/NF-κB-mediated matrix metalloproteinase-9 expression. *PloS One* 2013;8:e68905. doi: 10.1371/journal.pone.0068905.
30. Hu Q, Ecker M. Overview of MMP-13 as a Promising Target for the Treatment of Osteoarthritis. *Int J Mol Sci* 2021;22:1742. doi: 10.3390/ijms22041742.
31. Wan Y, Li W, Liao Z, Yan M, Chen X, Tang Z. Selective MMP-13 inhibitors: promising agents for the therapy of Osteoarthritis. *Curr Med Chem* 2020;27:3753-69. doi: 10.2174/0929867326666181217153118.
32. Nakabayashi H, Shimizu K. HA1077, a Rho kinase inhibitor, suppresses glioma-induced angiogenesis by targeting the Rho-ROCK and the mitogen-activated protein kinase kinase/extracellular signal-regulated kinase (MEK/ERK) signal pathways. *Cancer Sci* 2011;102:393-9. doi: 10.1111/j.1349-7006.2010.01794.x.